

IRANIAN SOCIETY of  
CRYSTALLOGRAPHY  
and MINERALOGY

IRANIAN JOURNAL of  
CRYSTALLOGRAPHY  
and MINERALOGY

No. 2, 1386/2007 Fall & Winter

## A survey of the thermodynamic of evaporate salts in one of the Yazd playas based on a ground sampling and remote sensing

Mohammad Akhavan Ghalibaf<sup>1</sup>, Amir Hosein Kohsary<sup>2</sup>

1- Soil Sciences (Mineralogy), Yazd University

2- Mining Dept., Yazd University

Email: makhavan@yazduni.ac.ir

(Received: 9/4/2006, received in revised form: 31/5/2007)

**Abstract:** This study was done in the wet marginal part of the Siahkooh playa (Kevir) in Yazd, Iran, which is located in the northwest of Ardakan. The abundance of Ca and SO<sub>4</sub> ions led to gypsum crystallization near the water table in the soil. From depth to the soil surface, the CaCO<sub>3</sub>-CaSO<sub>4</sub>.2H<sub>2</sub>O-NaCl-H<sub>2</sub>O-PCO<sub>2</sub> soil and water system change to CaSO<sub>4</sub>.2H<sub>2</sub>O-Na<sub>2</sub>SO<sub>4</sub>-NaCl-H<sub>2</sub>O. From water table (100cm under soil surface) to the soil surface, ionic power was decreased and activity coefficient was increased respectively. Therefore, near ground table, gypsum form and high concentration of Ca ions from gypsum lead to low amounts of exchangeable Na. This influence has been continued up to soil surface to achieve a relative balance. Replacement of Na with Ca on the exchangeable surfaces of soil and existence of SO<sub>4</sub> ions formed NaSO<sub>4</sub> minerals. The precipitation of 1800ton per hectare sodium salts(sulfatic & chloridic) was estimated with respect to the mean of annual evaporation (roughly 900mm) in the studied site. The result also showed that the seventh bands of Landsat7 are more important to differentiate between sulfate and chloride salts as well as sodium and calcium salts.

**Keywords:** Evaporate salts - Thermodynamic - Sulfate salinity type.



## بررسی ترمودینامیکی نمکهای تبخیری در یکی از گودالهای نمکی استان یزد با نمونه برداری‌های زمینی و دور سنجی

محمد اخوان قالیباف<sup>۱</sup>، امیر حسین کوهساری<sup>۲</sup>

۱- رشته علوم خاک (کارشناسی)، دانشگاه یزد

۲- دانشکده معدن، دانشگاه یزد

پست الکترونیکی: [makhavan@yazduni.ac.ir](mailto:makhavan@yazduni.ac.ir)

(دریافت مقاله ۱۳۸۵/۱/۲۰، دریافت نسخه نهایی ۱۳۸۶/۳/۱۰)

چکیده: این کار پژوهشی در حاشیه مرطوب گودالهای نمکی (کویر) سیاه کوه یزد در شمال غرب شهرستان اردکان انجام گرفت. غالب بودن یونهای کلسیم و سولفات منجر به تبلور گچ در نزدیکی سطح آب زیر زمینی در خاک شده است. از عمق و نزدیک سطح آب زیر زمینی تا سطح خاک سیستم آهک - ژیپس - کلوروسدیم - آب و فشار گاز دیاکسیدکربن ( $\text{CaCO}_3\text{-CaSO}_4\text{-}2\text{H}_2\text{O}\text{-aCl-H}_2\text{O-PCO}_2$ ) به سیستم ژیپس - سولفات سدیم - کلور سدیم و آب (CaSO<sub>4</sub>, 2H<sub>2</sub>O-Na<sub>2</sub>SO<sub>4</sub>-NaCl-H<sub>2</sub>O) تغییر می‌یابد. نتایج حاصل نشان می‌دهد که از عمق یک متری و نزدیک به سطح آب زیر زمینی تا سطح خاک، به تدریج میزان قدرت یونی کاهش یافته و ضریب فعالیت یونها افزایش می‌یابد. از این رو در نزدیکی سطح ایستابی افزایش غلظت مولار یونهای کلسیم حاصل از گچ منجر به افزایش میزان کلسیم تبادلی و محلول و کاهش سدیم تبادلی در سیستم شده که این تأثیر تا سطح خاک ادامه یافته تا به تعادل نسبی نزدیک شود. جایه جایی کلسیم به جای سدیم روی سطوح تبادلی و وجود سولفات در فاز آبی تشکیل کانی‌های سولفات سدیم را به دنبال دارد که سرعت ته نشستنی کانی‌های سدیمی (سولفاتی - کلریدی) با توجه به میانگین تبخیر سالانه ۹۰۰ میلیمتر در ناحیه مورد مطالعه ۱۸۰۰ تن در هکتار در سال برآورد می‌شود. همچنین نتایج به دست آمده نشان داد که نوار ۷ لندست ۷ قابلیت بیشتری در تفکیک کانی‌های تبخیری سولفاتی از کلریدی و نیز کانی‌های سدیمی از کلسیم را دارد.

واژه‌های کلیدی: نمکهای تبخیری- ترمودینامیک- نوع سولفاته سوری.

## مقدمه

گودالهای نمکی سیاه کوه در واقع حوضه بسته جریانهای سطحی و زیر زمینی حوضه آبخیز گودالهای نمکی سیاه کوه است که سازندهای زمین‌شناسی قدیم تا جدید را در بر گرفته است. سطح کل حوزه آبریز سیاه کوه حدود ۸۶۲۰ کیلومتر مربع است که از این مقدار ۸۲۵ کیلومتر مربع آن را نهشته‌های تنه‌نشستی گودالی در بخش‌های پست در بر گرفته است [۱]. تشكیل گودالهای نمکی مورد مطالعه به میوسن و شکل گیری آن به شکل امروزی به حرکات زمین ساختی پلیوسن - پلیوستون نسبت داده شده است [۲]. به طوریکه در طول دوره کواترنری فرایندهای با خاستگاه سنگی (با حفظ خصوصیات مواد آواری و سنگ مادری اولیه) با فرسایش آبی - بادی و فعالیت‌های انسانی موجب تغییر ریخت‌شناسی گستره مورد مطالعه شده است [۲]. از نظر زمین ریخت‌شناسی واحد گودالهای سیاه کوه دارای سه نوع ناهمواری است که عبارتند از: ۱- نوع جلگه‌ای رسی ۲- نوع حاشیه‌ای مرطوب، و ۳- نوع کویری. با توجه به فراوانی نمکهای تبخیری نظیر کلور سدیم و گچ در ته نهشته‌ها، و قابلیت جابه جایی آنها در آبهای سطحی خاستگاه شهابسنگی یا جوی برای شورابه‌ها پیشنهاد شده است [۱]. از نوع جلگه‌ای رسی تا انواع حاشیه‌ای مرطوب و کویری به ترتیب درصد املال محلول در آب از حدود ۲ درصد تا بیش از ۵-۰ درصد افزایش می‌یابد، و نوع آنیونی نمکی در سطح اراضی از کلریدی سولفاتی ( $\text{Cl}/\text{SO}_4=1-2$ ) تا کلریدی ( $\text{Cl}/\text{SO}_4>2$ ) در شورابه‌های با نسبت یک برابر تنه‌نشست و پنج برابر آب) تغییر می‌کند و نوع کاتیونی در همان شورابه بیشتر سدیمی ( $\text{Na}/\text{Ca}+\text{Mg}>2$ ) است [۲]. از نظر هیدروشیمیایی شورابه‌های گودالهای مورد مطالعه از نوع شورابه‌های آنیونهای غالب کلور، سولفات، بی‌کربنات، کربنات، و کاتیونهای غالب سدیم - کلسیم - منیریم و پتانسیم است. با فراوانی سیستم سولفات کلسیم و کلور سدیم در آبهای زیر زمینی گودالهای نمکی مورد مطالعه در نوع حاشیه‌ای مرطوب امکان تشكیل کانی‌های با ارزش اقتصادی نظیر سولفات سدیم روی سطوح آن اراضی وجود دارد [۳، ۴، ۵]. از آنجا که شکل کانی تشكیل شده و نوع آن مربوط به عوامل متعددی نظیر شرایط ترمودینامیکی محیط - ثابت‌های ته نهشتی نمکهای کم محلول - حلalیت نسبی ترکیبات حدواسط و نیز شرایط تبادلهای یونی بر سطوح رسی است [۷] شناسایی موقعیت پیدایش آنها را دشوار می‌نماید. ابزار سنجش از دور با تعیین ویژگیهای طیفهای بازتابشی الکترومغناطیسی و ثبت آنها با سنجندهای ماهواره‌ای می‌تواند در تکمیل مطالعات پی‌جویی کانی‌های تبخیری با ارزش، به ویژه در مناطق کویری موثر، واقع شود [۸]. تاکنون مطالعات زیادی در خصوص ارتباط مناطق با حاکمهای شور و تصاویر ماهواره‌ای، ویژگیهای ریخت‌شناسی سطوح تبخیری، شیمی شورابه‌ها از جنبه‌های پی‌جویی و برآورده ذخایر نمکهای تبخیری نظیر سولفات سدیم در ایران انجام گرفته است [۹، ۱۰، ۱۱، ۱۲]. ابراهیم مقیمی [۱۰]، در توصیف چگونگی ریخت‌شناسی کویر مزد آباد که

در شرق اردستان واقع شده است به اشکال گل کلمی در حاشیه کویر و محل تبلور نمکها اشاره دارد. فریدون قدیمی عروس محله [۱۱] به وجود سولفات سدیم در بخش اراضی پست حوزه آبریز کویر میقان اراک اشاره می‌کند. در پایگاه ملی داده‌های علوم زمین کشور [۱۲] به شوابه‌های حاوی کلرورها و سولفات‌ها و وجود سولفات‌های تمنشتهای آبرفتی کواترنر جنوب سمنان اشاره دارد. در این کار پژوهشی با بررسی‌های میدانی و نمونه برداری از نمکهای تبخیری تشکیل شده بر سطوح خاکهای شور و شوره زارها و همزمان مقایسه رفتارهای طیفی بازتابشی آن موقعیت‌ها سعی شده است تا روابط بین نوع کانی‌های تبخیری، رفتارهای ترمودینامیکی آنها در منطقه مورد مطالعه و داده‌های ماهواره‌ای را بررسی کند.

#### روش کار

پس از انتخاب ناحیه‌ای در حاشیه جنوب غربی کویر سیاه کوه در نوع ناهمواری حاشیه مرطوب روی ته نشستهای آبرفتی کواترنر با تعیین پارامترهای توپوگرافی مانند درصد شیب، راستهای جغرافیایی و ارتفاع، مناطق مشابه با روش سامانه‌های اطلاعات جغرافیایی [۶] شناسایی شدند (شکل ۱). نواحی مورد بررسی با کد سه رقمی که از چپ به راست بیانگر ارتفاع، راستا، و شیب است تفکیک شدند. در شکل ۲ یک ترکیب نواری ۷-۴-۱ از تصویر ماهواره‌ای لندست ۷ مربوط به بهار سال ۲۰۰۰ میلادی به همراه لایه شبکه مطالعاتی از همان موقعیت نشان داده شده است. این ترکیب نواری در رنگ‌های سه گانه سرخ، سبز و آبی دارای رنگی شبیه به وضع ظاهری ناحیه مورد بررسی است.

شبکه مطالعاتی به گونه‌ای در نظر گرفته شد که قاعدة آن به سمت مرکز کویر سیاه کوه (کویر اردکان) و راس آن به سمت حاشیه کویر (نوع ناهمواری جلگه‌ای رسی) است. از تمامی موقعیت‌های کدگزاری شده، از خاک سطحی تا عمق ۲۰ سانتیمتری نمونه برداری شد. آئینون‌ها و کاتیون‌های شیرابه نمونه‌های خاک به نسبت ۱ به ۵ خاک و آب اندازه‌گیری شدند. نسبت یون کلرید به یون سولفات برای آگاهی از نوع آئیونی، و نسبت سدیم به مجموع کلسیم و منیزیم برای شناسایی نوع کاتیونی در موقعیت‌های کدگزاری شده تعیین شدند. نوار ۷ از ماهواره لندست ۷ را که همبستگی بیشتری با انواع آئیونی و کاتیونی داشت، برای رده بندی ناحیه‌ای مورد مطالعه استفاده شد. برای مطالعه تکمیلی از موقعیت‌هایی که بیشتر سولفات‌های بودند و یا نسبت کلر به سولفات کمتری را نشان می‌دادند برای بررسی محیط‌های تشکیل سولفات سدیم استفاده شد از موقعیت‌های مورد نظر ترانشه و نیمرخ خاک حفاری صورت گرفت. ترانشه به عمق ۲ متر و طول ۱۰ متر و نیمرخهای خاک با ابعاد ۲ متر در یک متر و با عمق ۱ الی ۲ متر حفر شدند. موقعیت نیمرخ شاهد در مختصات طول ۵۳ درجه و ۴۹ دقیقه و ۱۰ ثانیه شرقی و عرض ۳۲ درجه و ۴۰ دقیقه و ۳۹ ثانیه شمالی قرار دارد. پس از مطالعه

چگونگیهای ریخت‌شناسی مقاطع ظاهری لایه‌های خاک نظیر رنگ مانسل- ساختار- بافت و شکل ظاهری تبلور کانی‌ها نظیر ژیپس و کلرور سدیم و تفكیک افق‌های خاک، نمونه برداری شد. باز تابش نوارهای مختلف ماهواره ندست ۷ در موقعیت‌های همگن مورد اندازه‌گیری قرار گرفت و برای بررسی ارتباط آماری آن با پدیده‌های فیزیکی زمین و ویژگیهای شیمیایی نمکها استفاده شد. از نمونه‌های خاک پس از خشک کردن در دمای آزمایشگاه کار آمداده‌سازی و شیرابه گیری با آب مقطر به نسبت ۱:۵ خاک و آب انجام گرفت. میزان کاتیونها و آنیونها غالباً در فاز آبی نظیر کلسیم، منیزیم، سدیم و پتانسیم، و نیز کربنات، بی‌کربنات، سولفات و کلراید به روش‌های معمول آزمایشگاهی (کلسیم و منیزیم به روش کمپلکسومتری- سدیم و پتانسیم فلیم نور سنجی- سولفات، توربیدیمتری و کلر به روش مور) اندازه‌گیری شد. در نمونه‌های خاک درصد گچ با روش آنالیز گرمایی DTA و مقایسه با درصد گچ به صورت نیمه کمی، و گچ با تعیین مقدار سولفات (پس از انحلال گچ) اندازه‌گیری شد. برای محاسبه قدرت یونی در فاز آبی رابطه زیر مورد استفاده قرار گرفت.

$$(1) I = \frac{1}{2000\sum_i} \sum_i^m [Z_i] C_i$$

به  $Z_i$  و  $C_i$  تعداد یونها و  $m$  قدرت یونی بر حسب کیلو مول بر مترمکعب است.  $I$  که در آن ترتیب بار و غلظت یونها بر حسب میلی هم ارز بر لیتر است.

برای محاسبه ضریب فعالیت یونها از رابطه دیای- هاکل تعمیم یافته [۱۳] استفاده شد:

$$(2) \gamma = \gamma_i^{x_i^{1/2}} \log y = -A\sqrt{I}/(1 + B\sqrt{I}) + bI$$

در رابطه بالا  $\gamma$  ضریب فعالیت،  $\gamma_i$  ضریب فعالیت یون مورد نظر و  $x_i^{1/2}$  بار الکتریکی یون مورد نظر به توان دو، و  $A$ ،  $B$  و  $b$  تابع دما بوده که در دمای ۲۵ درجه سانتیگراد برابر است با:

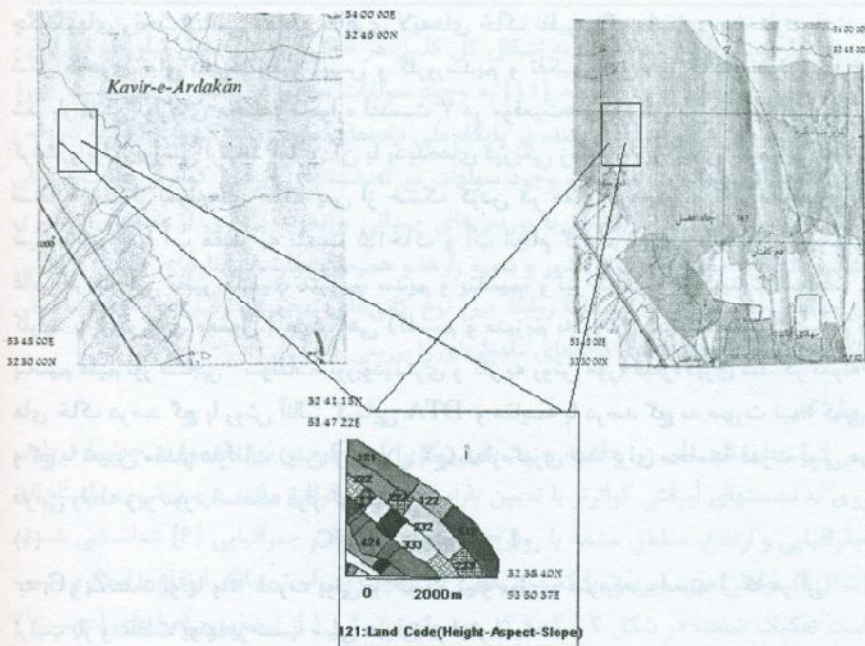
$$A = 0,509, B = 1,075, b = 0,054$$

به منظور بررسی چگونگی تعادل در سیستم‌های موجود در فارهای آب و خاک، از روابط پایستگی جرم و روابط تعادلی و حلالیت آنها استفاده شد [۱۳].

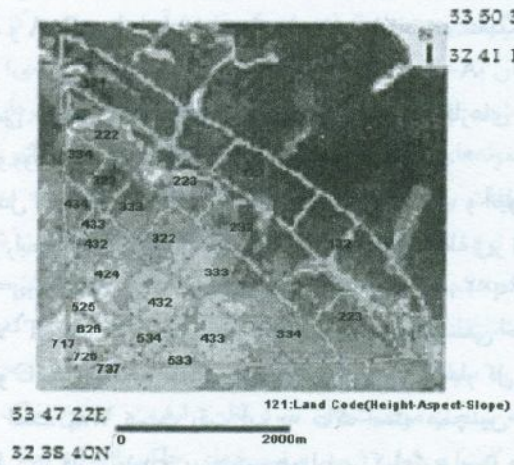
از آنجا که در مدل مورد بررسی کاتیون‌های اصلی سدیم، کلسیم، و آنیون‌های اصلی سولفات و کلرید است، در رابطه پایستگی جرم مقدار کل آنها را مطابق رابطه زیر تعیین کردیم.

$$T'_{Ca} = sCa + \zeta_g \times q \times 2; T'_{SO_4} = \zeta_g \times q \times 2; T'_{Cl} = C_{Cl} W/\zeta; T'_{Na} = C_{Na} W/\zeta$$

که در روابط بالا  $T'$  مقدار کل یونها در فارهای کلوئیدی و ته نشستی خاک بر حسب هم ارز بر کیلوگرم است و  $C$  نشان دهنده غلظت یونها در فاز آبی، و  $T$  مقدار کل آن بر حسب هم ارز بر کیلوگرم خاک است.  $W$  نسبت رقت آب به خاک است. همچنین در این روابط  $s$  میزان کاتیون‌های تبادلی در فاز کلوئیدی بر حسب هم ارز بر کیلوگرم است و  $\zeta_g$  ضریب تبدیل یک کیلوگرم ژیپس به مولهای کلسیم و سولفات است که هم ارز ۵,۸۱ مول است و  $q$  برابر با مقدار گچ بر حسب کیلوگرم گچ در کیلوگرم خاک است.

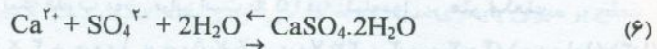
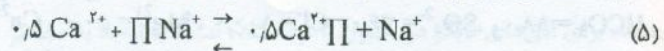


شکل ۱ موقعيت شبکه مطالعاتي (شكل پايهٔني) با مقیاس ۱:۱۵۰۰۰ و نقشه زمین‌شناسي نظير آن (بالا سمت چپ) و توپوگرافی نظير آن (بالا سمت راست) با مقیاس‌های اولیه ۱:۲۵۰۰۰.



شکل ۲ ترکیب نواری ۷-۴ و ۱ از لندست ۷ سال ۲۰۰۰ که نزدیک به چگونگی دیداری ناحیه مورد مطالعه است و شبکه‌های همگن تفکیک شده و به رنگ سیز دیده می‌شود.

روابط تبادلی یونی و حلایت و ته نشست گچ را می‌توان در رابطه زیر خلاصه کرد:



که در آن  $\prod$  سطح تبادلی کلوئیدهای خاک با بار منفی است.

ثابت حلایت گچ از رابطه.

$$k_g = a\text{Ca}^{2+} \times a\text{SO}_4^{2-} \times a_{\text{H}_2\text{O}}^2 \quad (7)$$

محاسبه شده روابط تعادلی را با توجه به ثابت حلایت گچ و رابطه گاپون می‌توان چنین خلاصه

کرد:

$$S_{\text{Na}}/S_{\text{Ca}} = k'_{\text{Ca-Na}} \gamma_{\text{Na}} C_{\text{Na}} / \sqrt{\gamma_{\text{Ca}} C_{\text{Ca}}} \quad (8)$$

$$k_g = \gamma_{\text{Ca}^{2+}} \times \gamma_{\text{SO}_4^{2-}} \times C_{\text{Ca}^{2+}} \times C_{\text{SO}_4^{2-}} \quad (9)$$

ضریب فعالیت برای هر یک از یونها معادل است با:

$$\gamma_{\text{Ca}} = \gamma_i^4; \gamma_{\text{SO}_4} = \gamma_i^4; \gamma_{\text{Na}} = \gamma_i$$

از رابطه پایستگی جرم یون‌های کلسیم و سولفات و حلایت گچ می‌توان نوشت:

$$F = T'_{\text{Ca}} - T'_{\text{SO}_4} - (C_{\text{Ca}} - k_g/C_{\text{Ca}}) W/\varsigma - (T_{\text{Na}} - T_{\text{Cl}}) - S(1 - Y_{\text{Na}}) = 0 \quad (10)$$

که در آن  $F$  چگونگی تعادلی را با نزدیک شدن به صفر نشان می‌دهد که در آن  $Y_{\text{Na}}$  نسبت سدیم تبادلی است و  $T'_{\text{SO}_4}$  و  $T'_{\text{Ca}}$  به ترتیب کل سولفات ذخیره از انحلال گچ و کل کلسیم تبادلی در فاز کلوئیدی و ذخیره از انحلال گچ را نشان می‌دهد.

### بررسی نتایج

شکل ۳ با توجه به روابط آماری بین نسبتهای کلر به سولفات و مقادیر عددی نوار ۷ لندست ۷ و رده‌بندی تصویر با نسبت کلر به سولفات به دست آمد. به طوری که در تصویر دیده می‌شود، از جمله رسی به سمت کویر نوع نمکها از کلریدی به کلریدی سولفاتی تغییر می‌کند و در حاشیه مرتبط به نوع سولفاتی میل می‌کند. شکل ۴ به روش مشابه شکل ۳ تصویر با نسبت سدیم به کاتیون‌های دوظرفیتی رده‌بندی شده است. در شکل ۴ نوع غالب کاتیونی، سدیمی است که در دوسوی حاشیه مرتبط و مرکز گودالهای نمکی دیده می‌شود ولی در پیوندگاه گودالها و حاشیه در زون مرتبط می‌توان تغییراتی چون پیدایش انواع سدیمی کلسیمی و سدیمی منیزیمی را نیز مشاهده نمود. جدولهای ۱، ۲ و ۳ کمبتهای شیمیایی و فیزیکی-شیمیایی اندازه‌گیری شده را در نمونه‌های شیرابه آب و خاک و نمونه‌های خاک را در حاشیه مرتبط نشان می‌دهد. به منظور محاسبه قدرت یونی از رابطه یک استفاده شد. برای مثال با

توجه به نتایج محتوای یونی شیرابه خاک در جدول یک و افق  $A_z$  شامل مقادیر:  $\text{Na}^+ = ۴۰,۲$ ,  $\text{K}^+ = ۰,۲$ ,  $\text{Ca}^{2+} = ۷۰,۰$ ,  $\text{Mg}^{2+} = ۵۰,۰$ ,  $\text{SO}_4^{2-} = ۳۶,۰$ ,  $\text{Cl}^- = ۱۰۰,۰$ ,  $\text{HCO}_3^- = ۱۸۰,۰$  بر حسب میلی هم ارز بر لیتر قدرت یونی برابر است با:  $۰,۲۳۵$  کیلومول بر متر مکعب.

$$(۱:۲) \times (۰,۲۳۵) = ۰,۲۳۵ + ۲ \times ۳۶,۰ + ۱۰۰,۰ + ۲ \times ۵۰,۰ + ۰,۲ + ۲ \times ۷۰,۰ + (۰,۲۳۵) \times (۱:۰۰۰)$$

برای مثال ضریب فعالیت با قدرت یونی  $۰,۲۳۵$  کیلومول بر متر مکعب برابر است با:  $۰,۱۴۹$

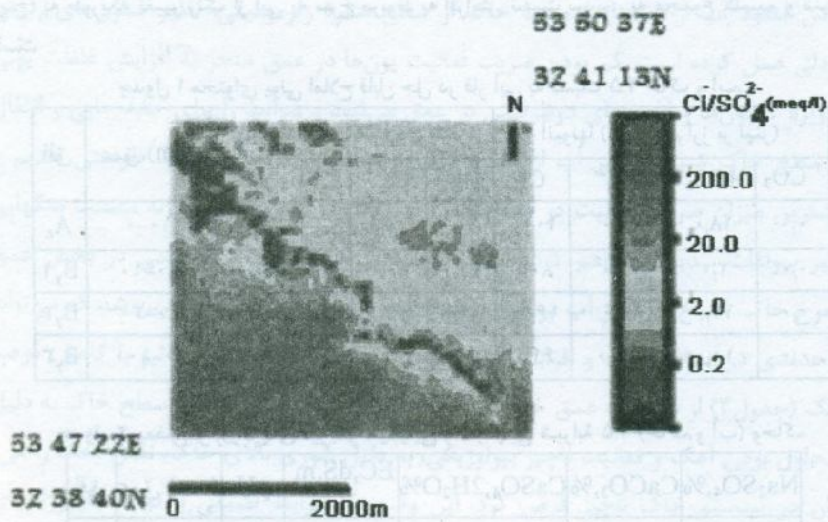
$$\log y = -0,509 + 0,235 \times (1,075 + 0,235) : ۰,۰۵۴$$

برای یون‌های یک ظرفیتی برابر  $۰,۲۰۸$  و برای یون‌های دو ظرفیتی برابر  $۰,۲۵۲$  خواهد شد. در ادامه برای سهولت محاسبه از غلظت به جای فعالیت استفاده شد. هر گاه از اندازه‌گیری مستقیم میزان غلظت کلسیم را بدست آوریم و در رابطه  $۱۰$  قرار دهیم در حالت تعادل و در ارتباط با میزان سدیم تبادلی باید حاصل رابطه  $۱$  معادل صفر به دست آید. در اندازه‌گیری به عمل آمده، میزان سدیم تبادلی در افق  $۳,۵ \text{ B}_{\text{g}}$  درصد محاسبه شد و ظرفیت تبادلی کاتیونی  $S(1 = ۰,۲۰۰\Delta)$  از این رو  $= ۰,۱۹$  است. برای محاسبه  $W/C_{\text{Ca}}-k_g$  در رابطه  $۱۰$  که تعادل یونها را با حاصل ضرب حلالیت گج نشان می‌دهد، نخست ثابت ته نشستی گج ( $10^{-1} \times k_g = ۲$ ) را بر میزان غلظت مولار کلسیم جدول یک تقسیم کرده و حاصل را پس از تبدیل یکای هم ارز از میزان کلسیم کسر کرده و سپس ضریب وقت شیرابه را که برابر  $۵$  بود برای تبدیل یکای هم ارز بر لیتر به هم ارز بر کیلوگرم در آن تاثیر دادیم. این مقدار در این افق برابر است با  $۰,۸۸۰$  هم ارز بر کیلوگرم خاک. مقدار یون کلرید کل از جدول یک و با تبدیل یکای برابر است با  $۰,۳۲$  هم ارز بر کیلوگرم خاک و از آنجا که میزان یون کلرید بیشتر در تعادل با یون سدیم بود و از کلور سدیم به سیستم وارد می‌شود، تفاضل آن را از میزان یون سدیم بر حسب هم ارز بر کیلوگرم خاک به دست می‌آوریم که برابر است با  $۰,۳۰$ . از آنجا که میزان یون سولفات ذخیره که می‌تواند از گج آزاد شود به ازای هر کیلوگرم گج  $۰,۸۱ / ۵,۸۱$  مول است و با توجه به جدول  $۲$  درصد گج در این افق، این میزان سولفات برابر خواهد شد با  $۱,۱۷۴$  مول بر کیلوگرم خاک  $= ۱,۱۷۴$ .

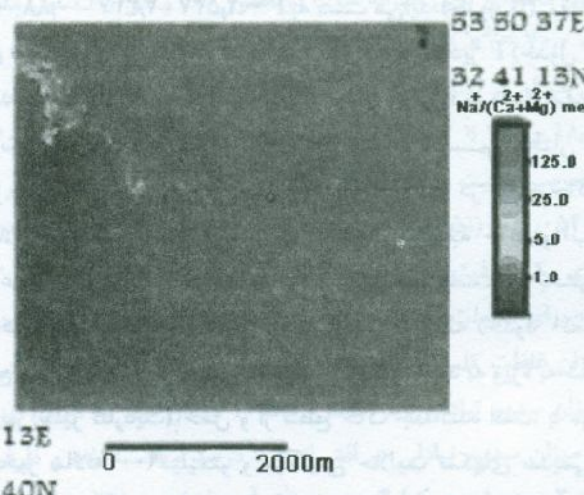
$$۰,۲۰۲ \times ۰,۸۱ = ۰,۱۷۴ \times ۲ = ۰,۳۴۷$$

دادن باقیمانده کاتیون‌های تبادلی به کلسیم، مقدار کلسیم تبادلی برابر خواهد شد با  $۰,۱۹$  یا  $۰,۱۹ \times ۰,۹۵ = ۰,۱۹$  هم ارز بر کیلوگرم خاک و مقدار کلسیم ذخیره شده، با توجه به جدول  $۲$  و میزان گج در این افق برابر با  $۰,۳۴$  هم ارز بر کیلوگرم است. در نتیجه مقدار کل کلسیم تبادلی و ذخیره برابر است با  $۰,۳۴$  هم ارز بر کیلوگرم خاک یا  $۰,۳۴ = ۰,۳۴$ . با  $T_{\text{Ca}} = ۰,۱۹ + ۰,۳۴$  توجه به مقادیر به دست آمده، رابطه  $۱۰$  مقدار  $F$  برای این افق معادل  $-۰,۵۸۰$  یا  $= ۰,۵۸۰$  است.

$F = 2,537 - 2,342 - 0,88 - 0,30$  به دست می‌آید (جدول ۳). مقدار  $F$  محاسبه شده برای افق‌های دیگر در جدول ۳ ارائه شده است. با توجه به مقادیر  $F$  (جدول ۳) از عمق تا سطح بر میزان پایداری سیستم اضافه می‌شود و یا به عبارت دیگر  $F$  به مقدار صفر نزدیک می‌شود، هر چند در سطح نیز همچنان تعادل کامل برقرار نشده و سیستم همچنان ناپایدار است. قدرت یونی نیز از عمق به سطح نیم‌رخ کاهش یافته و از این رو در سطح خاک در افق A بیشترین تبلور املاح و بیشترین مقدار رسانندگی الکتریکی شیرابه خاک و آب (جدول ۲) مشاهده می‌شود. عدم پایداری کامل در سطح خاک به این دلیل است که بخشی از نمکهای حاصل در سطح خاک باقی ماند که با میزان ناچیز بارندگی سالیانه (حدود ۰.۵ میلی متر) در عمق کمی از سطح جابجا می‌شود، و بخشی دیگر از املاح توسط باد به ویژه به شکل کانی‌های آبدار سولفات سدیم (نظیر تاریت) حمل و از سطح خاک جدا شده است. با در نظر گرفتن مقدار میانگین تبخیر سالانه ۹۰۰ میلی‌متر و میانگینی حلالیت نمکهای سدیمی (سولفاتی-کلریدی) ۲۰۰ گرم در لیتر [۴] می‌توان رقم ۱۸۰۰ تن پتانسیل نمکهای جابه جا شده و انتقال یافته به سطح خاک را در سال و در یک هکتار در حاشیه کویر سیاه کوه اردکان برآورد کرد.



شکل ۳ تصویر رده‌بندی شده از نوار هفت ماهواره لنdest ۷ بر حسب همبستگی آمری با نسبت یون کلرید به یون سولفات بر حسب میلی هم ارز بر لیتر در شیرابه خاک و آب (یک به پنج) به طوری که تغییر رنگ از آبی به سرخ مربوط به افزایش نسبت یون کلرید به یون سولفات است.



شکل ۴ تصویر رده‌بندی شده از نوار هفت ماهواره لندست ۷ بر حسب همبستگی آماری با نسبت یون سدیم به مجموع یون‌های کلسیم و منیزیم بر حسب میلی هم ارز بر لیتر در شیرابه خاک و آب (یک به پنج) به طوریکه تغییر رنگ از آبی به سرخ مریوط به افزایش نسبت سدیم به مجموع کلسیم و منیزیم است.

جدول ۱ محتوای یونی املاح قابل حل در فاز آبی به نسبت ۱:۵ خاک و آب.

آبیونها (میلی هم ارز بر لیتر)							کاتیونها (میلی هم ارز بر لیتر)	(cm)	افق
$\text{CO}_3^{2-}$	$\text{HCO}_3^-$	$\text{SO}_4^{2-}$	$\text{Cl}^-$	$\text{Mg}^{2+}$	$\text{Ca}^{2+}$	$\text{K}^+$			
۰,۰	۱۸,۰	۳۶,۰	۱۰۰,۰	۵۰,۰	۷۰,۰	۰,۲	۴۰,۲	۱۰--	A <sub>z</sub>
۰,۰	۲,۰	۷۶,۰	۸۰,۰	۴۴,۰	۸۰,۰	۰,۰	۳۰,۸	۳۰-۱۰	B <sub>y</sub> ۱
۰,۰	۱۲,۰	۱۰,۰	۱۶۸,۰	۱۶,۰	۱۶۸,۰	۰,۰	۶,۲	۶۰-۳۰	B <sub>y</sub> ۲
۰,۰	۱۰,۰	۱۳۰,۰	۶۴,۰	۲۴,۰	۱۸۰,۰	۰,۰	۴,۰	۶۰-۱۰۰	B <sub>y</sub> ۳

جدول ۲ بعضی از ویژگی‌های فیزیکو شیمیایی و شیمیایی شیرابه ۱:۵ (خاک و آب) و حاک.

$\text{Na}_2\text{SO}_4, \%$	$\text{CaCO}_3, \%$	$\text{CaSO}_4 \cdot 2\text{H}_2\text{O}, \%$	$\text{EC}, \text{dS.m}^{-1}$	pH	(cm)	افق
۲۲,۰	۲۲,۰	۲,۵	۶۲,۲۰	۸,۰۳	۱۰--	A <sub>z</sub>
۹,۰	۱۸,۰	۵,۲	۱۵,۰۶	۸,۲۲	۳۰-۱۰	B <sub>y</sub> ۱
۲,۰	۱۵,۰	۸,۵	۳,۷۵	۸,۰۳	۶۰-۳۰	B <sub>y</sub> ۲
۰,۲	۱۴,۰	۲۰,۲	۳,۲۰	۷,۷۰	۱۰۰-۶۰	B <sub>y</sub> ۳

جدول ۳ قدرت یونی (I) و ضریب فعالیت (γ) بعضی از یونها در فاز آبی (۱:۵) خاک.

F	I,kmol.m <sup>-3</sup>	$\gamma_{\text{Na}^+}$	$\gamma_{\text{SO}_4^{2-}}$	$\gamma_{\text{Ca}^{2+}}$	عمق (cm)	افق
۰,۰۰۵	۰,۲۳۵	۰,۷۰۸	۰,۲۵۲	۰,۲۵۲	۱۰-۰	A <sub>z</sub>
-۰,۰۹۹	۰,۲۵۴	۰,۷۰۴	۰,۲۴۵	۰,۲۴۵	۳۰-۱۰	B <sub>y</sub> ۱
-۰,۰۰۶	۰,۲۸۷	۰,۶۹۶	۰,۲۳۴	۰,۲۳۴	۶۰-۳۰	B <sub>y</sub> ۲
-۰,۵۸۰	۰,۳۷۳	۰,۶۸۰	۰,۲۱۴	۰,۲۱۴	۱۰۰-۶۰	B <sub>y</sub> ۳

## برداشت

با توجه به نتایج به دست آمده می‌توان چنین جمع‌بندی کرد که در نوع جلگه‌ای رسی و در حاشیه مرطوب گودالهای نمکی به دلیل افزایش میزان رس و سیلت در خاک و در نتیجه افزایش ظرفیت تبادلات کاتیونی شرایط برای جداسازی کاتیونها از نمکهای محلول و ته نشست دوباره نمکها فراهم می‌شود. فضاهای بین خاکدانهای رسی با خلل و فرج ریز خود با فراهم کردن صعود آب از فضاهای موبینه خاک از سطح سفره زیر زمینی، نظیر ستون‌های رزینی تبادلی عمل کرده است. کم بودن ضریب فعالیت یون‌ها در عمق منجر به افزایش غلظت یونی به ویژه کاتیون‌ها و آنیون‌های دوظرفیتی در عمق می‌شود و شرایط را برای جایی و انتقال به سطح خاک ضمن تبخیر آب از سطح خاک فراهم می‌آورد. کاتیون یک ظرفیتی سدیم با بیشترین میزان ضریب فعالیت در سطح خاک در رقابت با کلسیم، شرایط ته نشست نمکهای نظیر سولفات‌سدیم را فراهم کرده است. در نزدیکی سطح، آب زیر زمینی در بخش عمق نیمرخ خاک، اشباع خاک از آب موجب افزایش فشار نسبی گاز دی اکسیدکربن شد که می‌تواند تا حدودی در انحلال آهک و افزایش غلظت یون کلسیم موثر باشد. این تاثیر با کاهش درصد آهک (جدول ۲) از سطح به عمق خاک می‌تواند مرتبط باشد. ولی به سمت سطح خاک به دلیل نامحلول بودن آهک و فعالیت ناچیز بیولوژیکی، به دلیل شوری بالای خاک، نقش آهک را می‌توان در سیستم خاک ناچیز فرض کرد. این وضع در شرایط طبیعی با توجه به ویژگیهای ترمودینامیکی حاکم بر محیط بیابانی و کویری جلگه رسی با نوع آنیونی شورابه‌های سولفاتی-کلریدی، و کاتیون غالب سدیم منجر به تشکیل کانی‌هایی با ارزش اقتصادی نظیر سولفات سدیم در سطح خاک شده است.

## مراجع

- [۱] حاجی میرزا علیان م., "بررسی ژئومرفولوژی پلایای سیاه کوه اردکان با تأکید بر سطح ایستابی و خاک", پژوهه کارشناسی ارشد آبخیز داری، دانشگاه تهران (۱۳۷۵) ۱۵۲ ص.
- [۲] ترشیزیان ح., "مطالعه رسوب‌شناسی ژئوسیمی و ژئومرفولوژی پلایاهای زرین کلوت توت و عقدا در ایران مرکزی (استان یزد)", رساله دکتری زمین‌شناسی، دانشگاه آزاد اسلامی (۱۳۷۸).
- [۳] اخوان قالیباف م., "جمع آوری نمونه‌های مقطع خاک در مسیر شیرکوه-کویر سیاه کوه و مطالعه تشکیل و تحول خاک‌ها در زونهای اقلیمی و ابسته به ارتفاع"، طرح پژوهشی - دانشگاه بزد (۱۳۷۸) - ۶۴ ص.
- [۴] اخوان قالیباف م., "تشکیل کاتی‌های سولفات‌سیدیم (ناظیر تناردیت- میرابیلیت) با غالبیت سیستم کلسیم سولفات و سیدیم کلراید در آب زیر زمینی از جنبه‌های ترمودینامیک و سینتیک در حاشیه کویر سیاه کوه بزد"، مجموعه مقالات یازدهمین کنفرانس بلور‌شناسی و کاتی‌شناسی ایران- یزد (۱۳۸۲) ۲۶۹- ۲۷۵ ص.
- [۵] قبادیان ع., اخوان قالیباف م., "طبقه‌بندی کویرهای استان بزد بر اساس شیمی و تیپ سوری آنها"، طرح پژوهشی - دانشگاه بزد، ۴۰ ص. ۱۳۸۱.
- [۶] Akhavan Ghalibaf M., "Salinity types related to climatic and lithogenic microzones in Central Iran", 17<sup>th</sup> World Congress of Soil Science. Thailand(2002).
- [۷] Kovda, etals, Irrigation, "Drainage and Salinity", FAO/UNESCO (1973). 510p.
- [۸] ER Mapper6 , "Helping People Manage the earth", Applications. (1998). 450p.
- [۹] Alavi Panah S.K., "Study of soil, salinity in desert based upon field observations", remote sensing, and GIS (Case study: Ardakan area, Iran. Desert Institute Report. Tehran Uni.(1994).
- [۱۰] مقیمی ا., "وضعیت ژئومرفولوژی شهر آب (مزد آباد)", مجله علمی پژوهشی دانشکده ادبیات و علوم انسانی دانشگاه اصفهان. (۱۳۷۸) شماره ۱۸ و ۱۹.
- [۱۱] قدیمی عروس محله ف., "بررسی اکتشافی به منظور تعیین وضعیت محیطی سولفات سیدیم کویر میقان اراک", کنفرانس معدن ایران. پایگاه ملی داده‌های علوم زمین کشور (۱۳۸۳).
- [۱۲] پایگاه ملی داده‌های علوم زمین کشور، توان معدنی استان سمنان . <http://ngdir.ir>
- [۱۳] Pachepsky I.A., "Mathematical models in the soils", Moscow State University(1992).84p.(in Russian language).